2014年の ENSO の実況と予測

前田修平(気象庁気候情報課)

1. はじめに

このようにエルニーニョ現象自体は 弱いものではあったが、気候システム は大きく変動し、春以降、全球平均の 海面水温が大きく上がった。その結果、 2014年の年平均海面水温はこれまで 最も高温だった1998年を上回り、気象 庁が統計を開始した1891年以降の最 高となった。エルニーニョ現象発生時 には全球平均気温が上がることが知られており、今回の弱いエルニーニョ現 象も昇温に寄与した可能性がある。

心に不順であった。また、近年は9月の残暑が厳しいが、今年は5年ぶりに北〜西日本にかけて低温傾向となった。これらの天候は、エルニーニョ現象時に特徴的なものであり、この弱いエルニーヨ現象が影響した可能性がある。本報告では、2014年の弱いエルニョ現象に関連する大気や海洋の循環場の特徴について、主に全球平均気、大気と海洋データを用いて述べる。用いるデータは、いずれも気象庁による大

一方、日本の夏の天候は西日本を中

気の長期再解析 (JRA-55, Kobayashi et al. 2015)、海面水温解析 (COBE-SST, Ishii et al. 2005)、海洋データ同化 (MOVE-G, Usui et al. 2006) による海洋表層解析データである。本文中では、1981~2010 年の 30 年平均を平年値、それからのズレを偏差とする。

2. 春先の強い西風バーストと振幅の大きな暖水ケルビン波の東進、その後の経過

西風の強さを過去と比較するために、図2には1~3月で平均した西部太平洋赤道域の地上風の経年変化を示す。2014年は大規模なエルニーニョ現象が発生した1997年よりも西風が強く、1958年以降では最強である。図3は、中部、東部太平洋赤道域で平均した300mまでの表層水温偏差の3月と1月の差を示す。2014年は1958年以降で最も昇温が大きく、この時期としては振幅がかなり大きい暖水ケルビン波が東進したことがわかる。

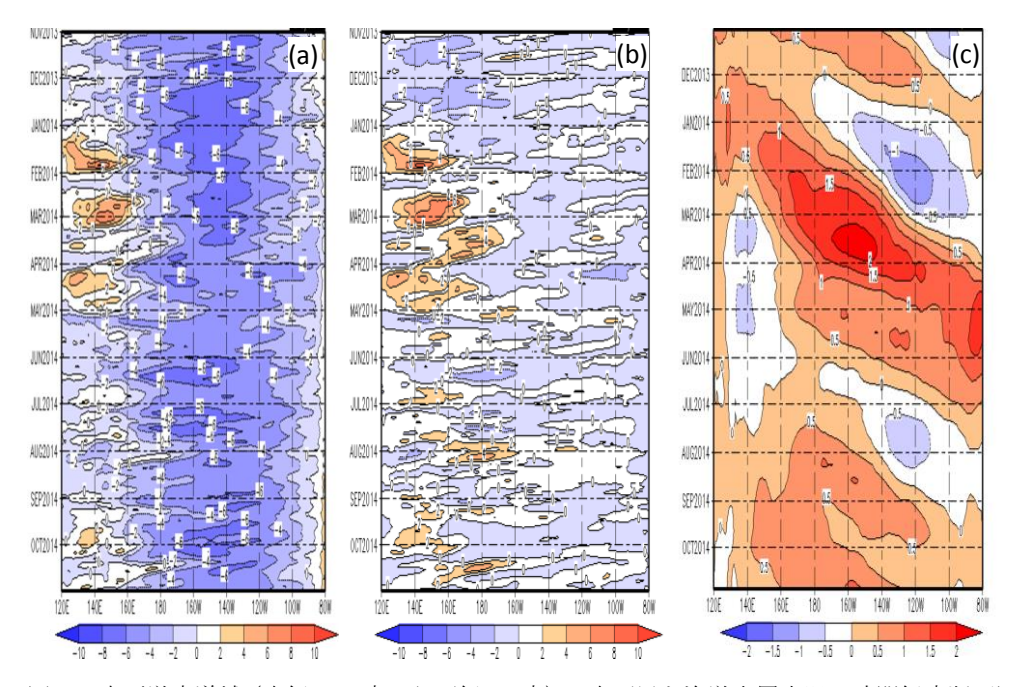


図 1 太平洋赤道域 (東経 120 度から西経 80 度) の東西風と海洋表層水温の時間経度断面図。 2013 年 11 月~2014 年 10 月。

(a)北緯 5 度~南緯 5 度で平均した地上風の東西成分で 5 日移動平均、等値線間隔は 2m/s。 (b)(a)と同じ、ただし偏差。(c) 北緯 2.5 度~南緯 2.5 度で平均し海洋表層水温偏差。海面から深さ 300m までの平均で 5 日平均値。等値線間隔は 0.5 \mathbb{C} 。

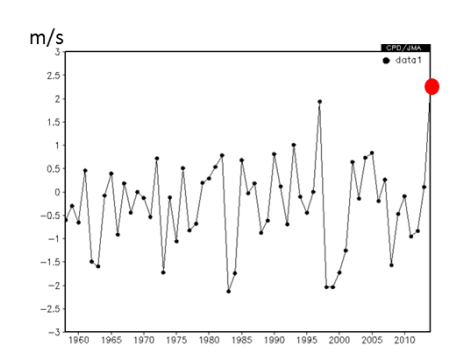
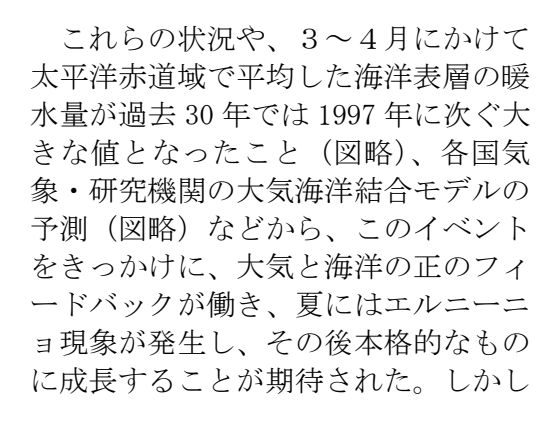


図2 西部太平洋の赤道域(東経 120~180 度、北 緯2.5~南緯2.5 度)で平均した地上風 (m/s) の 経年変化。1958~2014 年で赤丸は2014 年。



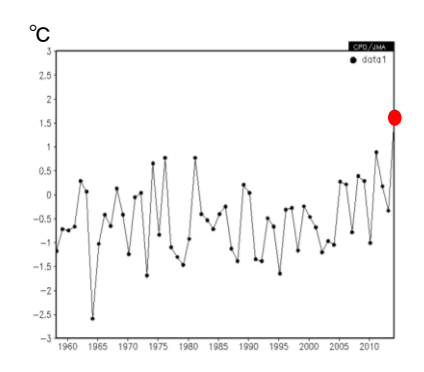


図3 中・東部太平洋の赤道域 (東経 180~西経 120 度、北緯 2.5~南緯 2.5 度) で平均した 300m までの水温偏差(°C)の3月と1月の差の経年変化。1958~2014年で赤丸は2014年。

ながら、図1(b)や(c)からわかるように、予測に反して典型的な正のフィードバックが働かず、本格的なエルニーニョ現象は発生しなかった。

3. 全球平均海面水温の上昇

予測に反して本格的なエルニーニョ 現象にならなかったものの、春先の西 風バースト以後に、海面水温には大き な変化が起きた。図4は全球平均海面 水温偏差である(月別値で、2013年1 月~2014年10月)。西風バースト後の 3月から6月にかけて大きく上昇し、 その後も 10 月までかなり高い状態で 持続し、5月~10月までの6か月間は 連続して月としては過去最高(1891年 以後で)となった。図5には5~10月 で平均した全球平均海面水温偏差の経 年変化を示すが、他の年を 0.1℃程度 引き離す記録的な高温であったことが わかる。この高い海面水温と、春先の 西風バーストとはどんな関係があるの だろうか?

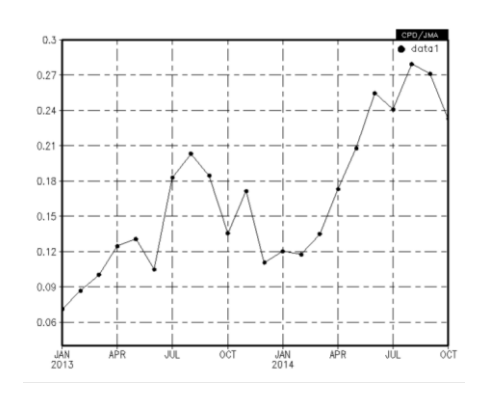


図4 全球平均海面水温偏差 (°C)。 2013年1月~2014年10月

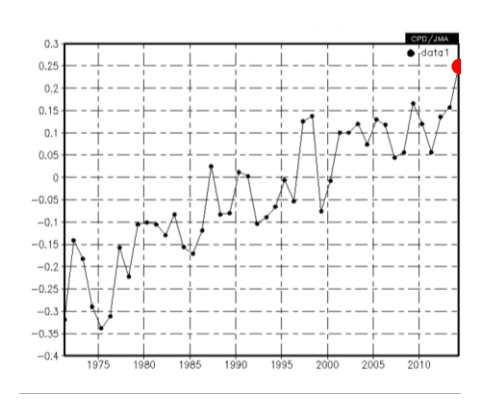


図 5 5~10 月で平均した全球平均海面 水温偏差 (℃) の経年変化。 1971~2014 年で赤丸は 2014 年

西風バーストによって太平洋赤道域 で強制された暖水ケルビン波が関係し ているならば、ケルビン波の振幅が大 きい水温躍層は東部ほど浅いため、そ の東進をきっかけに海洋表層の浅いと ころが昇温しているはずである。図6 (a)は、太平洋熱帯域で平均した表層水 温偏差の 300m までの時間深さ断面図 である。暖水ケルビン波が東進した3 月から4月にかけて、表層100m以下の 正偏差の値が小さくなり負偏差になる 一方、60m 以浅で大きくなり、その状 態が10月まで持続した。この変化は全 球平均(図6(b))でも同様である。変 化の時期や領域から、春先の西風バー ストによる暖水ケルビン波の東進が全 球海面水温昇温のきっかけとなったこ とは明瞭である。

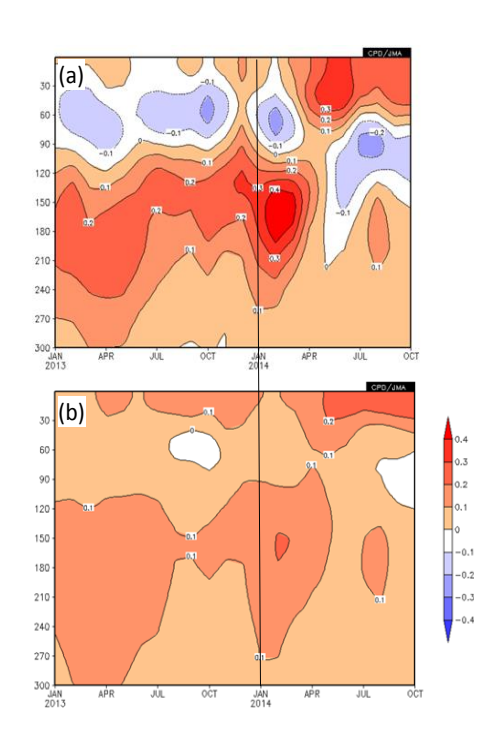


図 6 海面 \sim 300mまでの表層水温偏差($^{\circ}$ C)。 2013年1月 \sim 2014年10月

(a) 太平洋熱帯域 (東経 120 度〜西経 60 度、 北緯 20 度〜南緯 20 度) で平均、(b) 全球平 均。等値線間隔は 0.1℃。

4. 高い海面水温の持続

では、暖水ケルビン波の東進後に、なせ高い海面水温が数ヶ月も持続したのだろうか? 図7(a)は特に高い水温が持続した5~10月で平均した海面水温偏差である。北太平洋で海面水温偏差である。2(b)は海水温における潜熱フラックス(b)は海路のスープックスを正としている)でであるが、北太平洋の熱帯・亜熱帯域ではるカンス偏差が正で、高い海面水温を移りて(c)の海面気圧を見ると海面水温が高い北太平洋で低く、海面水温が低

い南太平洋で高い南北のコントラストが明瞭な分布となっている。北太平洋では平年に比べ太平洋高気圧が弱いので地上風が弱く、潜熱フラックスが弱い(海水を暖める側の偏差)ことに寄与したことがわかる。こういった北太平洋の大気循環場はどのように形成されたのか?

図7(c)の925hPaの水蒸気フラックス偏差を見ると、海面気圧分布と対応して北半球の中・東部太平洋熱帯域で水蒸気フラックス収束が強く、積雲対流活動の活発化に寄与していることがわかる。これら海面水温、海面気圧、

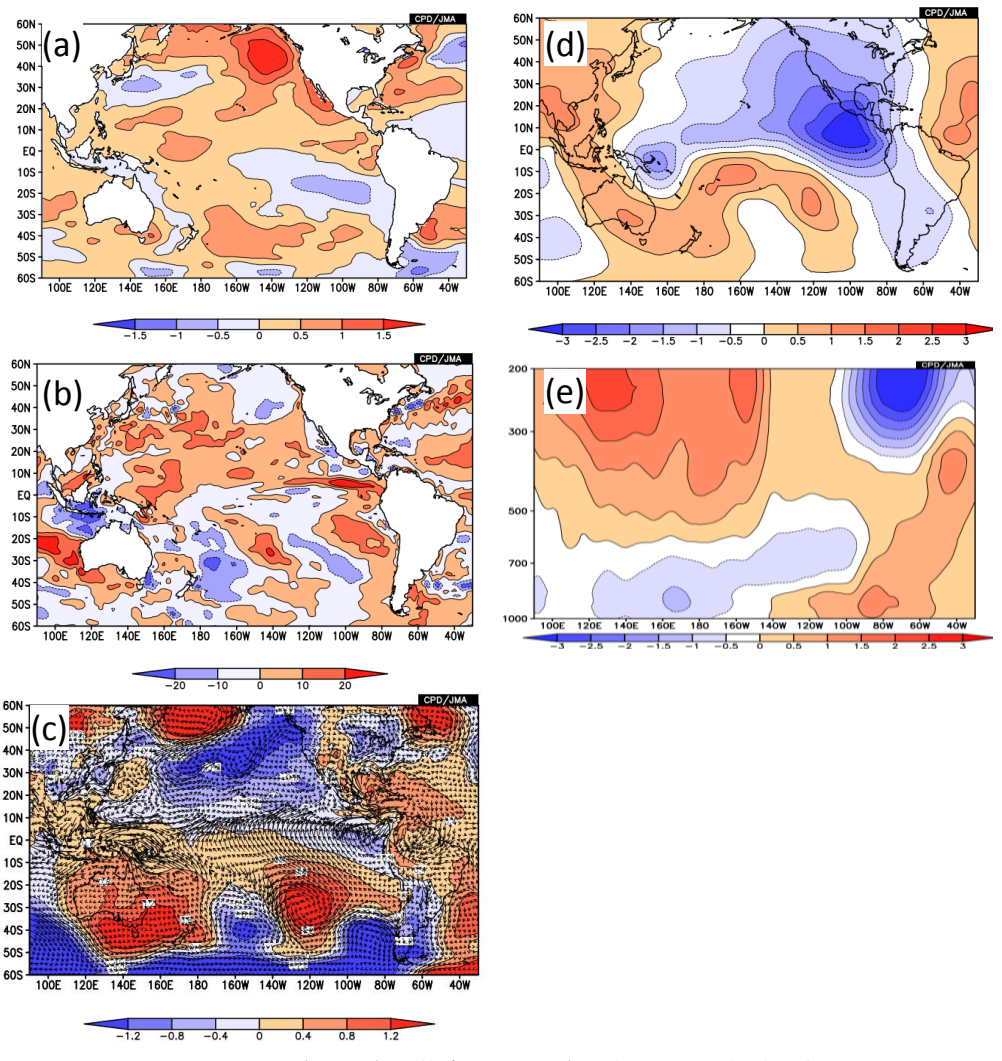


図7 2014年5~10月で平均した太平洋域における海面水温などの偏差分布 (a)海面水温偏差で等値線間隔は0.5℃。(b)海面の潜熱偏差(正は海水の加熱)で等値線間隔は10W/m²。(c)海面気圧偏差で等値線間隔は0.4hPa。矢印は925hPaの水蒸気フラックス偏差(kg/kg×m/s)。(d)200hPa速度ポテンシャル偏差で等値線間隔は 0.5×10^6 m²/s。(e)赤道~北緯30度で平均し流線関数偏差の鉛直断面図(地上~200hPa)で等値線間隔は 0.5×10^6 m²/s。

水蒸気フラックスの分布は、Lindzen and Nigam(1987)による、海面水温の傾度が海面気圧への影響を介して下層風とその収束を強制するという主張と矛盾してない。

図 7 (d) は 200hP 面の速度ポテンシ ャル偏差である。水蒸気フラックス収 東に対応して、北半球側の東・中部太 平洋熱帯域で上層発散が強い。これは エルニーニョ現象発生時に見られやす い特徴である。図7(e)は赤道~北緯 30 度で平均した流線関数偏差である。 太平洋域には、東西に伸びる下層低気 圧性循環、上層高気圧性循環という傾 圧的な構造の偏差が見られ、その形成 には、図7(d)で示した強い上層発散 (図は示さないが下層収束) により強 制されたロスビー波が関係していそう である。太平洋で東西に伸びたこの下 層の低気圧性循環偏差に伴って地上風 が弱まり、潜熱フラックスが減ったと 考えられる。これらのことは、海面水 温分布による積雲対流活動の偏りが、 ロスビー波の生成を介して、その海面 水温分布の維持に寄与したという、正 のフィードバックも働いていたことを 示唆している。

なお北半球の東部太平洋熱帯域における強い上層発散は、その領域において熱帯低気圧の活動がかなり活発だったことも関係している。米国海洋大気庁の発表によれば、2014年は、東部太平洋熱帯域における熱帯低気圧の活動度は平年の143%だった。統計によれば、エルニーニョ現象時には東部太平洋で熱帯低気圧の活動が活発になりやすい。

5. 北太平洋でのジェット気流の南偏

図8(a)は、5~10月で平均した200hPaの東西風である。北太平洋では日本付近から日付変更線の東にかけて平年よりもジェット気流が南偏していることが明瞭である。図8(b)の200hPa流線関数偏差から、その一因が前述した積雲対流によって強制された亜熱帯域を東西に伸びるロスビー波で

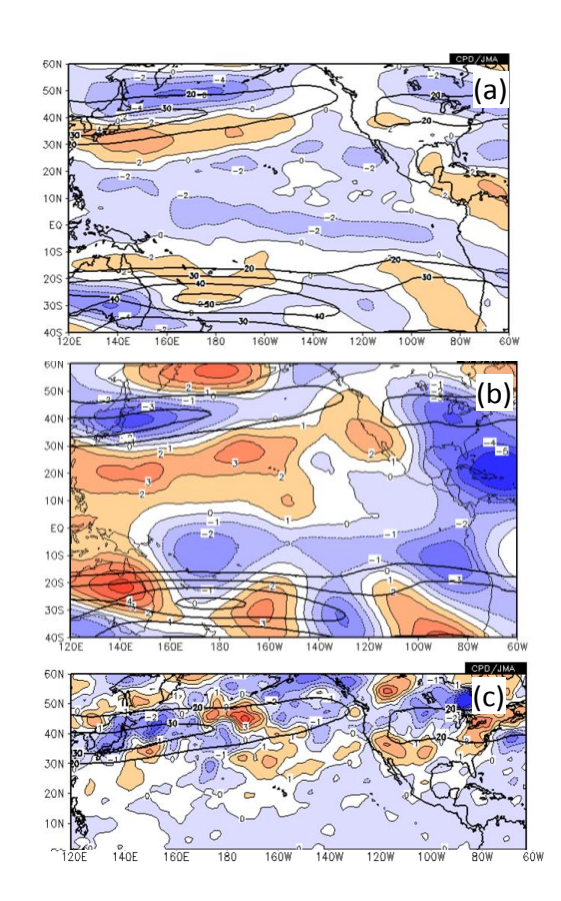


図8 2014年5~10月で平均した太平洋域における 200hPa 東西風などの偏差分布。(a)~(c)の黒い太 線は200hPa 東西風 (20m/s 以上を10m/s 間隔で表 示)

(a) 200hPa 東西風偏差で等値線間隔は 2m/s。(b) 200hPa 流線関数偏差で等値線間隔は 0.5×106m2/s。(c) 200hPa における高周波擾乱の渦輸送収束による高度変化で等値線間隔は m/day。

あることがわかる。しかし、それだけ ではジェット気流が日本の北で弱いこ とや図8(b)に見られる日本付近の緯 度帯で東西に伸びる低気圧循環偏差は 説明できない。図8(c)は、2~8日の 周期帯の高周波擾乱の渦輸送収束によ る 200hPa 高度変化を示す。日本付近の 緯度帯で高度を下げる偏差となってお り、この過程が日本付近の緯度帯の東 西に伸びる低気圧性循環偏差の形成に 寄与したことがわかる。亜熱帯域で偏 西風が強まると、高周波擾乱がより南 の緯度帯で活動できて、それによる東 西風の運動量輸送収束の変化で偏西風 の動向が影響を受けることが知られて おり (Robninson, 2002)、これらの図

はこの時期にも同様なことが起きたことを示唆している。

この偏西風の南偏は、日本の夏の天候を不順にし、秋には低温をもたらした。 すなわち、弱いエルニーニョ現象が、偏西風の南偏を介して日本付近の天候に影響を与えた可能性がある。

6. まとめと議論

2014 年の大気と海洋のデータの解析から、春先の強い西風バーストとそれによって強制された暖水ケルビン波は、予測に反して本格的なエルニーニョ現象のきっかけとはならなかったものの、その後の記録的に高い全球海面水温の持続や日本付近から日付変更線の東にかけてのジェット気流の南偏のきっかけとなったことが示唆された。

通常のエルニーニョ現象は、太平洋 熱帯域における海面水温の東西コントラストと、海面気圧の東西コントラストによる正のフィードバックで維持、成長する。対して、図7(a)と(c)からわかるとおり、2014年の太平洋熱帯域における海面水温と海面気圧は、南北のコントラストが明瞭であった。なぜ南北のコントラストが明瞭となったでか? 図9には、太平洋域で平均した海面水温偏差の時間緯度断面図を示す。2014年4月以降の赤道域と北太平

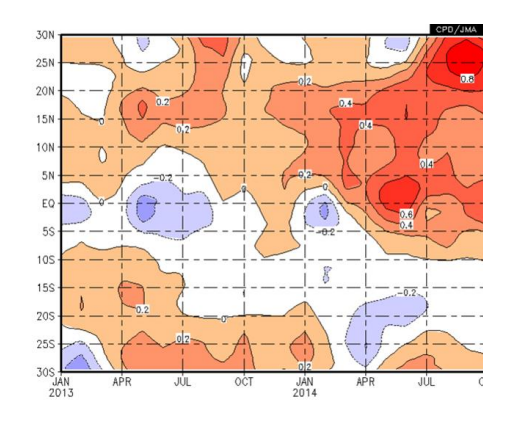


図9 太平洋域 (東経 120 度~西経 60 度) で平均した海面水温偏差の緯度時間断 面図。北緯 30 度~南緯 30 度、2013 年 1 月~2014 年 10 月で等値線間隔は 0.2℃。

洋での昇温が目立つが、北太平洋では それ以前から水温が高く、南北の温度 差がある状態は 2013 年の前半から続 いている。2014年春先の西風バースト と暖水ケルビン波の東進のイベントに よって、この状態がより強化されて、 その後の南北のコントラストの卓越に 関係した可能性もある。大西洋では熱 帯域の海面水温の南北のコントラスト が長く持続するパターンが知られてお り、大西洋南北モードとも呼ばれてい る。一方、太平洋熱帯域ではエルニー ニョ現象やエルニーニョもどきといっ た東西モードが卓越し、南北モードは 知られていない。その点で、2014年の 海面水温と海面気圧における南北のコ ントラストの卓越と持続は興味深い。

本報告は、定性的なデータ解析のみに基づいており、メカニズムに関しては大気海洋循環場の偏差パターンと先行研究をもとに推察したことが多い。 今後、LBM を用いた実験などを行うことで、それらの推察が適切であるかどうか、確認していきたい。

参考文献

Ishii, M., A. Shouji, S. Sugimoto, and T. Matsumoto, 2005: Objective analyses of sea-surface temperature and marine meteorological variables for the 20th century using ICOADS and the Kobe Collection. Intl. J. Climatol., 25, 865-879.

Kobayashi, S., Y. Ota, Y. Harada, A. Ebita, M. Moriya, H. Onoda, K. Onogi, H. Kamahori, C. Kobayashi, H. Endo, K. Miyaoka, and K. Takahashi, 2015: The JRA-55 Reanalysis: General Specifications and Basic Characteristics. J. Meteor. Soc. Japan, 93, doi: 10.2151/jmsj.2015-001.

Lindzen R. S., and S. Nigam, 1987: On the role of sea surface temperatue gradients in forcing low-level winds and convergence in the tropics. J. Atmos. Sci., 44, 2418-2436.

Robinson, W. A., 2002: On the midlatitude thermalresponse to tropical warmth. Geophys. Res. Lett., 29(8), 1190, doi:10.1029/2001GL014158.

Usui, N., S. Ishizaki, Y. Fujii, H. Tsujino, T. Yasuda, and M. Kamachi, 2006: Meteorological Research Institute multivariate ocean variational estimation (MOVE) system: Some early results, Adv. Space Research, 37, 806-822.